Elettromagnetismo

Prof. Francesco Ragusa Università degli Studi di Milano

Lezione n. 24 - 13.03.2023

Potenziale di una spira Forze sui dipoli magnetici Energia potenziale del dipolo

- Calcoliamo infine il potenziale vettore di una spira
 - Facciamo un calcolo utile per il futuro del nostro studio
 - Una formula approssimata per distanze grandi dal centro della spira
 - Analogo alla forma del dipolo elettrico
 - Sarà utile nello studio dei campi magnetici nella materia
 - Utilizziamo una derivazione matematica utilizzando i vettori

$$\mathbf{A}\left(\mathbf{r}\right)=\frac{\mu_{0}}{4\pi}I \oint_{C} \frac{d\mathbf{r}_{\!_{1}}}{\left|\mathbf{r}-\mathbf{r}_{\!_{1}}\right|}$$
 • Sviluppiamo il denominatore

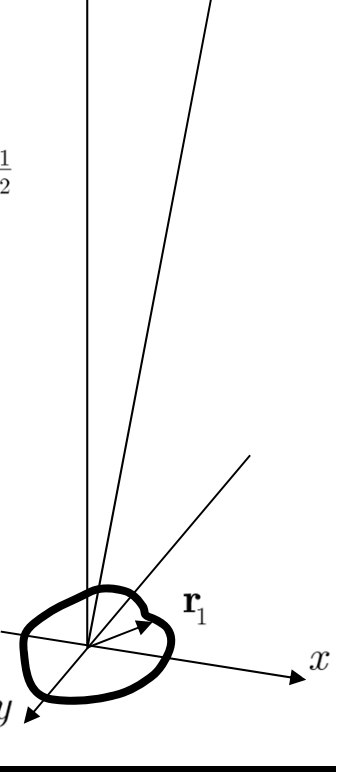
$$\left| \mathbf{r} - \mathbf{r}_{\!_{1}} \right|^{\!\!-1} = \left(r^{2} + r_{\!_{1}}^{2} - 2\mathbf{r} \cdot \mathbf{r}_{\!_{1}} \right)^{\!\!-\!\!\frac{1}{2}} = rac{1}{r} \! \left(1 + rac{r_{\!_{1}}^{2}}{r^{2}} - 2rac{\mathbf{r} \cdot \mathbf{r}_{\!_{1}}}{r^{2}}
ight)^{\!\!-\!\!\frac{1}{2}}$$

• Approssimando al primo ordine di r_1/r $\frac{1}{\sqrt{1-x}} \approx 1 + \frac{x}{2}$

$$\left|\mathbf{r}-\mathbf{r}_{\!\scriptscriptstyle 1}
ight|^{\!\scriptscriptstyle -1}pproxrac{1}{r}\!\!\left(1+rac{\mathbf{r}\cdot\mathbf{r}_{\!\scriptscriptstyle 1}}{r^2}
ight)$$

Otteniamo

$$\mathbf{A}(\mathbf{r}) = \frac{\mu_0}{4\pi} \frac{I}{r} \oint_C d\mathbf{r}_1 + \frac{\mu_0}{4\pi} \frac{I}{r^3} \oint_C (\mathbf{r} \cdot \mathbf{r}_1) d\mathbf{r}_1$$



$$\mathbf{A}(\mathbf{r}) = \frac{\mu_0}{4\pi} \frac{I}{r} \oint_C d\mathbf{r}_1 + \frac{\mu_0}{4\pi} \frac{I}{r^3} \oint_C (\mathbf{r} \cdot \mathbf{r}_1) d\mathbf{r}_1$$

- Il primo termine è nullo
- Sviluppiamo l'integrando del secondo termine
 - Utilizziamo l'identità $\mathbf{A} \times (\mathbf{B} \times \mathbf{C}) = \mathbf{B}(\mathbf{A} \cdot \mathbf{C}) \mathbf{C}(\mathbf{A} \cdot \mathbf{B})$ $\mathbf{r} \times (\mathbf{r}_{1} \times d\mathbf{r}_{1}) = \mathbf{r}_{1} (\mathbf{r} \cdot d\mathbf{r}_{1}) - d\mathbf{r}_{1} (\mathbf{r} \cdot \mathbf{r}_{1})$

$$\implies d\mathbf{r}_{\!_{1}}\left(\mathbf{r}\cdot\mathbf{r}_{\!_{1}}\right) = \mathbf{r}_{\!_{1}}\left(\mathbf{r}\cdot d\mathbf{r}_{\!_{1}}\right) + \left(\mathbf{r}_{\!_{1}}\times d\mathbf{r}_{\!_{1}}\right) \times \mathbf{r} \qquad \boxed{\text{ordine scambiato}}$$

• Inoltre

$$d\left[\mathbf{r}_{1}\left(\mathbf{r}\cdot\mathbf{r}_{1}\right)\right]=d\mathbf{r}_{1}\left(\mathbf{r}\cdot\mathbf{r}_{1}\right)+\mathbf{r}_{1}\left(\mathbf{r}\cdot d\mathbf{r}_{1}\right)$$

r è costante

$$\implies d\mathbf{r}_{\!\scriptscriptstyle 1} \left(\mathbf{r} \cdot \mathbf{r}_{\!\scriptscriptstyle 1} \right) = d \left[\mathbf{r}_{\!\scriptscriptstyle 1} \left(\mathbf{r} \cdot \mathbf{r}_{\!\scriptscriptstyle 1} \right) \right] - \mathbf{r}_{\!\scriptscriptstyle 1} \left(\mathbf{r} \cdot d\mathbf{r}_{\!\scriptscriptstyle 1} \right)$$

- Sommiamo le due equazioni
 - I termini $\mathbf{r}_1(\mathbf{r} \cdot d\mathbf{r}_1)$ si elidono

$$2d\mathbf{r}_{\!_{1}}\left(\mathbf{r}\cdot\mathbf{r}_{\!_{1}}\right) = d\left[\mathbf{r}_{\!_{1}}\left(\mathbf{r}\cdot\mathbf{r}_{\!_{1}}\right)\right] + \left(\mathbf{r}_{\!_{1}}\times d\mathbf{r}_{\!_{1}}\right)\times\mathbf{r}$$

ullet Introduciamo la relazione trovata nel secondo integrale di A(r)

$$\mathbf{A}\left(\mathbf{r}\right) = \frac{\mu_0}{4\pi} \frac{I}{r^3} \oint_{C} \mathbf{r} \cdot \mathbf{r}_1 d\mathbf{r}_1 = \frac{\mu_0}{4\pi} \frac{1}{r^3} \frac{I}{2} \left[\oint_{C} d\left[\mathbf{r}_1 \left(\mathbf{r} \cdot \mathbf{r}_1\right)\right] + \oint_{C} \left(\mathbf{r}_1 \times d\mathbf{r}_1\right) \times \mathbf{r} \right]$$

- Il primo integrale è ancora una volta un differenziale esatto
 - L'integrale su un cammino chiuso è nullo

$$\mathbf{A}\left(\mathbf{r}\right) = \frac{\mu_0}{4\pi} \frac{1}{r^3} \frac{I}{2} \oint_{C} \left(\mathbf{r}_{\!\scriptscriptstyle 1} \times d\mathbf{r}_{\!\scriptscriptstyle 1}\right) \times \mathbf{r}$$

• Definiamo il momento magnetico m del circuito

$$\mathbf{m} = \frac{I}{2} \oint_{C} \mathbf{r}_{1} \times d\mathbf{r}_{1}$$

• Otteniamo l'espressione finale per il potenziale vettore di una spira (dipolo)

$$\mathbf{A}\left(\mathbf{r}
ight)=rac{\mu_{0}}{4\pi}\mathbf{m} imesrac{\mathbf{r}}{r^{3}}$$

- Sottolineiamo che si tratta di una formula approssimata
 - ullet Valida solo per r molto maggiore delle dimensioni del circuito
 - Approssimazione di dipolo
 - Il termine di monopolo è nullo

$$\oint_C d\mathbf{r}_1 = 0$$

Il momento di dipolo magnetico

• Nel caso di una densità di corrente J

$$\mathbf{m} = \frac{I}{2} \oint_{C} \mathbf{r}_{1} \times d\mathbf{r}_{1} = \frac{1}{2} \oint_{C} JS \, \mathbf{r}_{1} \times d\mathbf{r}_{1}$$

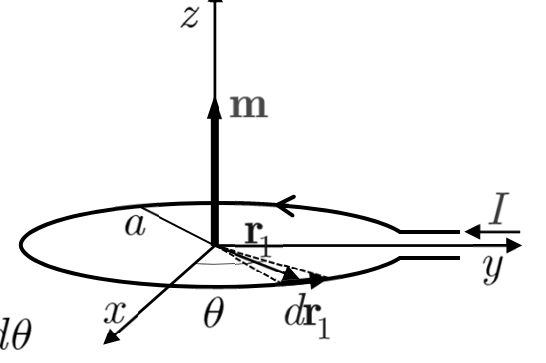


- $\mathbf{m} = rac{1}{2} \int \mathbf{r} imes \mathbf{J} d^3 \mathbf{r}$
- Cerchiamo adesso di comprendere meglio il significato della definizione di momento magnetico della spira
 - Specializziamolo al caso di una spira circolare

$$\mathbf{r}_1 = \hat{\mathbf{e}}_x a \cos \theta + \hat{\mathbf{e}}_y a \sin \theta$$

$$d\mathbf{r}_1 = \frac{d\mathbf{r}_1}{d\theta}d\theta = \left(-\hat{\mathbf{e}}_x \sin\theta + \hat{\mathbf{e}}_y \cos\theta\right)ad\theta$$

$$\mathbf{r}_{1} \times d\mathbf{r}_{1} = \left(\hat{\mathbf{e}}_{x} \cos \theta + \hat{\mathbf{e}}_{y} \sin \theta\right) a \times \left(-\hat{\mathbf{e}}_{x} \sin \theta + \hat{\mathbf{e}}_{y} \cos \theta\right) a d\theta$$



$$= \left(\hat{\mathbf{e}}_x \times \hat{\mathbf{e}}_y \cos^2 \theta - \hat{\mathbf{e}}_y \times \hat{\mathbf{e}}_x \sin^2 \theta\right) a^2 d\theta = \left(\hat{\mathbf{e}}_x \times \hat{\mathbf{e}}_y \cos^2 \theta + \hat{\mathbf{e}}_x \times \hat{\mathbf{e}}_y \sin^2 \theta\right) a^2 d\theta = \hat{\mathbf{e}}_z a^2 d\theta$$

• Pertanto il momento magnetico è

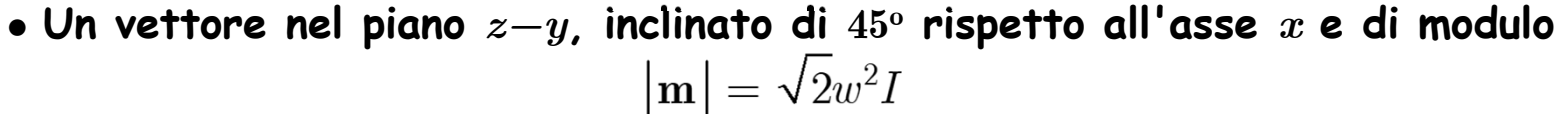
$$\mathbf{m} = \frac{I}{2} \oint_{C} \hat{\mathbf{e}}_{z} a^{2} d\theta = \frac{I}{2} 2\pi a^{2} \hat{\mathbf{e}}_{z} = I\pi a^{2} \hat{\mathbf{e}}_{z}$$

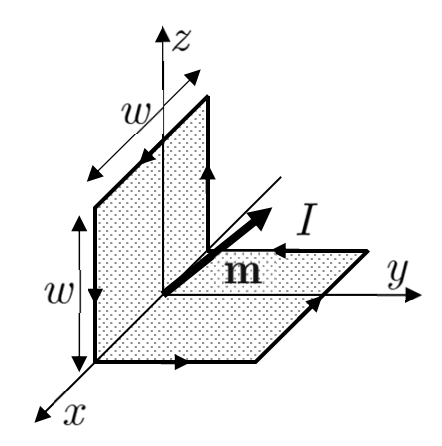
- ullet Il momento magnetico ${f m}$ è un vettore
 - Perpendicolare al piano che contiene la spira
 - Il modulo è uguale al prodotto della corrente per la superficie della spira

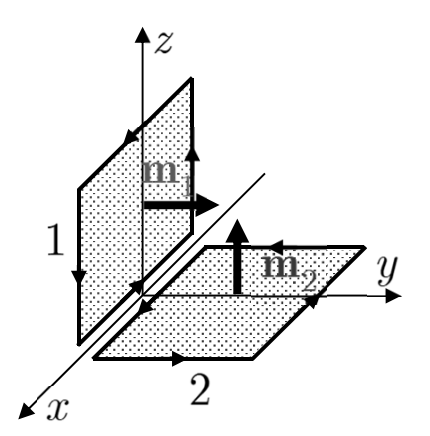
Esempio 2: una spira non piana

- Consideriamo adesso la spira in figura
 - ullet La corrente della spira è I
 - ullet Supponiamo che tutti i segmenti abbiano la stessa lunghezza w
 - ullet Metà della spira giace nel piano x-z
 - ullet L'altra metà della spira giace nel piano $y{-}z$
- La spira è equivalente a due spire piane
 - Le due correnti evidenziate in rosso e in blu si elidono quando si combinano le due spire piane per formare la spira iniziale
- Il momento magnetico delle due spire è semplice
 - ullet Per la spira 1 $\mathbf{m}_1 = w^2 I \hat{\mathbf{e}}_y$
 - \bullet Per la spira 2 $~\mathbf{m}_2 = w^2 I \hat{\mathbf{e}}_z$
 - Il momento magnetico della spira composta dalle spire 1 e 2 è pertanto

$$\mathbf{m} = \mathbf{m}_1 + \mathbf{m}_2 = w^2 I \left(\hat{\mathbf{e}}_y + \hat{\mathbf{e}}_z \right)$$





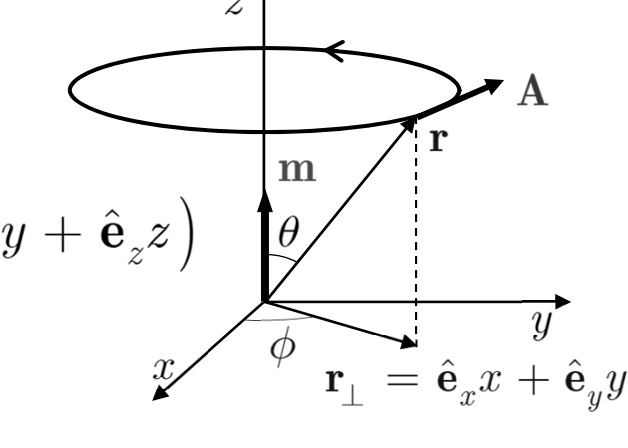


- ullet Specializziamo al caso di un circuito con momento magnetico diretto lungo l'asse z
 - Ad esempio la spira dell'esempio precedente

$$\mathbf{A}(\mathbf{r}) = \frac{\mu_0}{4\pi} \mathbf{m} \times \frac{\mathbf{r}}{r^3} = \frac{\mu_0}{4\pi} |\mathbf{m}| \hat{\mathbf{e}}_z \times \frac{\mathbf{r}}{r^3}$$

$$\mathbf{r} = \hat{\mathbf{e}}_x x + \hat{\mathbf{e}}_y y + \hat{\mathbf{e}}_z z \quad \hat{\mathbf{e}}_z \times \mathbf{r} = \hat{\mathbf{e}}_z \times (\hat{\mathbf{e}}_x x + \hat{\mathbf{e}}_y y + \hat{\mathbf{e}}_z z)$$

 $\hat{\mathbf{e}}_z \times \mathbf{r} = \hat{\mathbf{e}}_z \times \hat{\mathbf{e}}_x x + \hat{\mathbf{e}}_z \times \hat{\mathbf{e}}_y y = \hat{\mathbf{e}}_y x - \hat{\mathbf{e}}_x y$



• Le componenti del potenziale vettore sono

$$\begin{split} A_x &= -\frac{\mu_0}{4\pi} \big| \mathbf{m} \big| \frac{y}{r^3} = -\frac{\mu_0}{4\pi} \big| \mathbf{m} \big| \frac{r_\perp}{r^3} \sin \phi \qquad \qquad \mathbf{A} \left(\mathbf{r} \right) = \frac{\mu_0}{4\pi} \big| \mathbf{m} \big| \frac{r_\perp}{r^3} \hat{\mathbf{e}}_\phi \\ A_y &= \frac{\mu_0}{4\pi} \big| \mathbf{m} \big| \frac{x}{r^3} \qquad \qquad = \frac{\mu_0}{4\pi} \big| \mathbf{m} \big| \frac{r_\perp \cos \phi}{r^3} \qquad \qquad \mathbf{A} \left(\mathbf{r} \right) = \frac{\mu_0}{4\pi} \big| \mathbf{m} \big| \frac{\sin \theta}{r^2} \hat{\mathbf{e}}_\phi \\ A_z &= 0 \end{split}$$

ullet Le linee di campo di A(r) sono circonferenze concentriche con l'asse z

Il campo magnetico del dipolo

- Possiamo adesso calcolare il campo magnetico
 - È conveniente fare il calcolo in coordinate sferiche
 - ullet Il potenziale vettore ha solo la componente A_ϕ
 - Ricordiamo l'espressione del rotore in coordinate sferiche

$$\boldsymbol{\nabla}\times\mathbf{A} = \frac{1}{r\sin\theta}\bigg[\frac{\partial}{\partial\theta}\big(\sin\theta A_{\!_{\boldsymbol{\phi}}}\big) - \frac{\partial A_{\!_{\boldsymbol{\theta}}}}{\partial\phi}\bigg]\hat{\mathbf{e}}_{r} + \frac{1}{r}\bigg[\frac{1}{\sin\theta}\frac{\partial A_{\!_{\boldsymbol{r}}}}{\partial\phi} - \frac{\partial}{\partial r}\big(rA_{\!_{\boldsymbol{\phi}}}\big)\bigg]\hat{\mathbf{e}}_{\boldsymbol{\theta}} + \frac{1}{r}\bigg[\frac{\partial}{\partial r}\bigg(rA_{\!_{\boldsymbol{\theta}}} - \frac{\partial A_{\!_{\boldsymbol{r}}}}{\partial\theta}\bigg)\bigg]\hat{\mathbf{e}}_{\boldsymbol{\phi}}$$

ullet La componente B_ϕ è nulla $(A_ heta=A_r=0)$

$$B_{r} = \frac{1}{r\sin\theta} \frac{\partial}{\partial\theta} \left(\sin\theta A_{\phi}\right) = \frac{\mu_{0}}{4\pi} |\mathbf{m}| \frac{2\sin\theta\cos\theta}{\sin\theta r^{3}} = \frac{\mu_{0}}{4\pi} |\mathbf{m}| \frac{2\cos\theta}{r^{3}}$$

$$B_{ heta} = -rac{1}{r}rac{\partial}{\partial r}ig(rA_{\phi}ig) = -rac{1}{r}rac{\partial}{\partial r}igg(rrac{\mu_0}{4\pi}ig|\mathbf{m}ig|rac{\sin heta}{r^2}igg) = -rac{1}{r}rac{\mu_0}{4\pi}ig|\mathbf{m}ig|\sin hetaigg(-rac{1}{r^2}igg)$$

$$B_{\theta} = \frac{\mu_0}{4\pi} |\mathbf{m}| \frac{\sin \theta}{r^3} \quad B_r = \frac{\mu_0}{4\pi} |\mathbf{m}| \frac{2\cos \theta}{r^3} \quad \mathbf{E} = \frac{1}{4\pi\varepsilon_0} \frac{p}{r^3} \left(2\hat{\mathbf{e}}_r \cos \theta + \hat{\mathbf{e}}_\theta \sin \theta \right)$$

• Da confrontare con il campo del dipolo elettrico

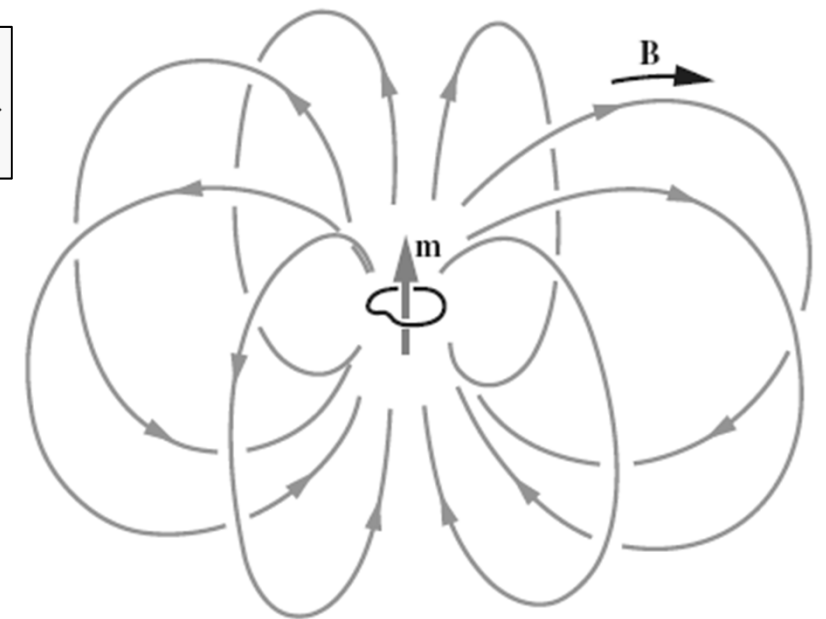
 $\mathbf{A}(\mathbf{r}) = \frac{\mu_0}{4\pi} |\mathbf{m}| \frac{\sin \theta}{m^2} \hat{\mathbf{e}}_{\phi}$

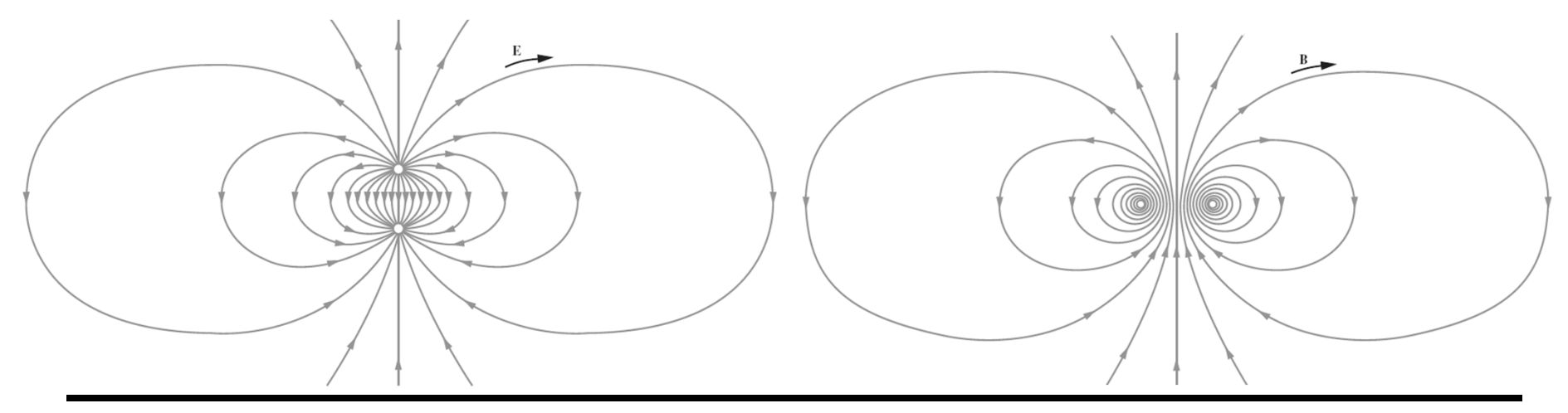
Il campo magnetico del dipolo

$$B_{\theta} = \frac{\mu_0}{4\pi} |\mathbf{m}| \frac{\sin \theta}{r^3}$$

$$\left|B_{ heta} = rac{\mu_0}{4\pi} \left| \mathbf{m} \left| rac{\sin heta}{r^3}
ight| \ \left|B_r = rac{\mu_0}{4\pi} \left| \mathbf{m} \left| rac{2\cos heta}{r^3}
ight|$$

- Le linee di campo sono come in figura
 - Sottolineiamo che le formule danno il campo a grandi distanze
 - ullet A piccole distanze i campi E e Bsono molto differenti





Forza fra due fili percorsi da corrente

 Abbiamo iniziato la trattazione della magnetostatica citando la legge di Ampère sulla forza fra due fili percorsi da corrente (vedi diapositiva 7)

$$F_{1,2} = \mu_0 \frac{i_1 i_2}{2\pi a} l$$

- Ricaviamo la legge di Ampère alla luce di quanto fin qui studiato
 - Il campo magnetico di un filo infinito

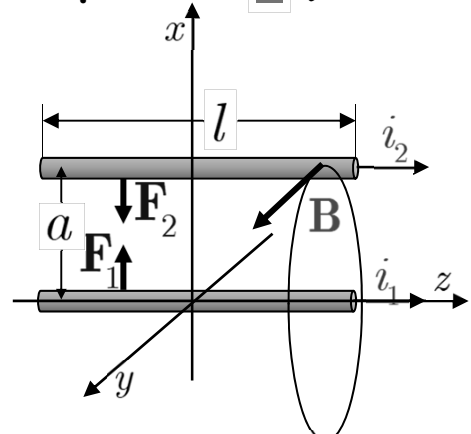
$$\mathbf{B}(\mathbf{r}) = \frac{\mu_0}{2\pi} \frac{I}{r} \hat{\mathbf{e}}_{\phi}$$

- Le linee del campo B sono circonferenze
- Nella posizione del filo 2 il campo magnetico vale
- La forza sul secondo filo è

$$d\mathbf{F} = i_2 d\mathbf{l} \times \mathbf{B} = i_2 dl \,\hat{\mathbf{e}}_z \times \mathbf{B} \implies \mathbf{F} = i_2 \, l \,\hat{\mathbf{e}}_z \times \mathbf{B}$$

• Sostituendo il valore del campo magnetico B

$$\mathbf{F} = i_2 \, l \, \hat{\mathbf{e}}_z \times \frac{\mu_0}{2\pi} \, \hat{\mathbf{e}}_y \, \frac{i_1}{a} = \frac{\mu_0}{2\pi} \frac{i_1 i_2}{a} \, l \, \hat{\mathbf{e}}_z \times \hat{\mathbf{e}}_y \qquad \mathbf{F} = -\frac{\mu_0}{2\pi} \frac{i_1 i_2}{a} \, l \, \hat{\mathbf{e}}_x$$



$$\mathbf{F} = -rac{\mu_0}{2\pi} rac{i_1 i_2}{a} l \,\hat{\mathbf{e}}_x$$

 $\mathbf{B}ig(\mathbf{r}_{\!\scriptscriptstyle a}ig) = rac{\mu_0}{2\pi}rac{\imath_1}{a}\hat{\mathbf{e}}_y$

Forza e momento della forza

ullet Abbiamo scritto l'espressione della forza su un circuito nella diapositiva 31

$$\mathbf{F} = I \oint_C d\mathbf{l} \times \mathbf{B}$$

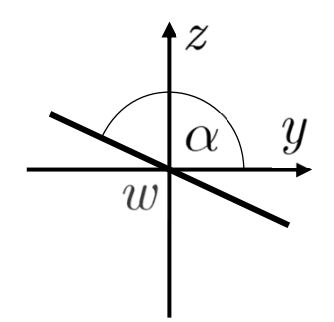
• Se il campo magnetico è uniforme si può fattorizzare l'integrale

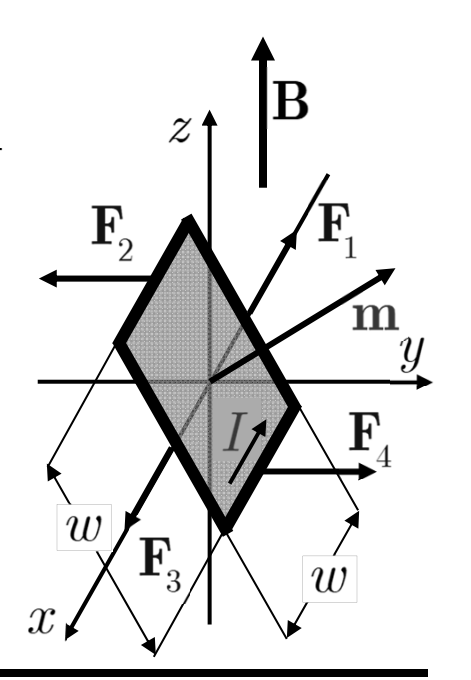
$$\mathbf{F} = \left(I \oint_C d\mathbf{l}\right) \times \mathbf{B}$$

- ullet Abbiamo già notato che l'integrale di $d{
 m l}$ su un circuito chiuso \dot{ullet} nullo
- Concludiamo che in un campo magnetico uniforme la forza su una spira è nulla
- Tuttavia in generale il momento delle forze non è nullo
 - ullet Consideriamo la spira quadrata di lato w in figura
 - ullet È percorsa da una corrente I; il momento magnetico è ${f m}$
 - ullet Può ruotare intorno ad un asse che giace sull'asse x
 - ullet Il campo magnetico ${f B}$ è lungo l'asse z
 - \bullet Sui quattro lati agiscono le forze $F_1,\,F_2,\,F_3,\,F_4$

$$\mathbf{F}_{1} = Iw(\hat{\mathbf{e}}_{y}\cos\alpha + \hat{\mathbf{e}}_{z}\sin\alpha) \times B\hat{\mathbf{e}}_{z}$$
$$\mathbf{F}_{1} = IwB\cos\alpha\hat{\mathbf{e}}_{x}$$

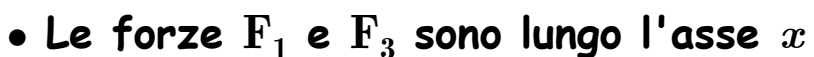
$$\mathbf{F}_{2} = Iw\hat{\mathbf{e}}_{x} \times B\hat{\mathbf{e}}_{z} = -IwB\hat{\mathbf{e}}_{y}$$





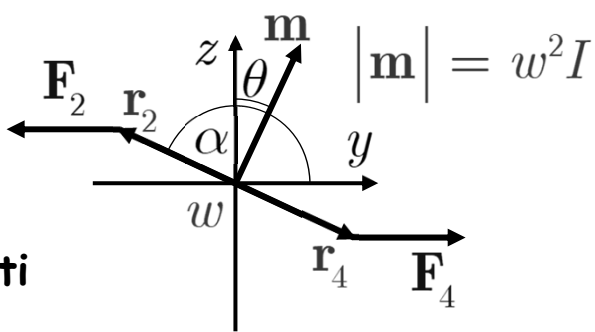
Forza e momento della forza

 Calcoliamo il momento delle forze rispetto all'asse di rotazione della spira (asse x)



- Il loro momento è nullo
- ullet Le forze ${f F}_2$ e ${f F}_4$ sono applicate nei punti individuati dai vettori \mathbf{r}_2 e \mathbf{r}_4

$$\mathbf{r}_{2} = \frac{w}{2} (\hat{\mathbf{e}}_{y} \cos \alpha + \hat{\mathbf{e}}_{z} \sin \alpha) \quad \mathbf{r}_{4} = -\mathbf{r}_{2}$$



$$\mathbf{F}_{2} = -IwB\hat{\mathbf{e}}_{y}$$
 $\mathbf{F}_{4} = -\mathbf{F}_{2}$

I momenti delle forze sono

$$\begin{aligned} \boldsymbol{\tau}_{2} &= \mathbf{r}_{2} \times \mathbf{F}_{2} = -\frac{w}{2} \Big(\hat{\mathbf{e}}_{y} \cos \alpha + \hat{\mathbf{e}}_{z} \sin \alpha \Big) \times IwB \hat{\mathbf{e}}_{y} = \frac{w^{2}I}{2} B \sin \alpha \hat{\mathbf{e}}_{x} \\ \boldsymbol{\tau}_{4} &= \Big(-\mathbf{r}_{2} \Big) \times \Big(-\mathbf{F}_{2} \Big) = \boldsymbol{\tau}_{2} & \boldsymbol{\tau} &= \boldsymbol{\tau}_{2} + \boldsymbol{\tau}_{4} = w^{2}IB \sin \alpha \hat{\mathbf{e}}_{x} = \Big| \mathbf{m} \Big| B \sin \alpha \hat{\mathbf{e}}_{x} \end{aligned}$$

- ullet Il momento magnetico forma un angolo $lpha \pi/2$ con l'asse y
 - ullet L'angolo di ${f m}$ con l'asse z è $heta=\pi/2-(lpha-\pi/2)=\pi-lpha$ $|lpha=\pi- heta|$

$$\alpha = \pi - \theta$$

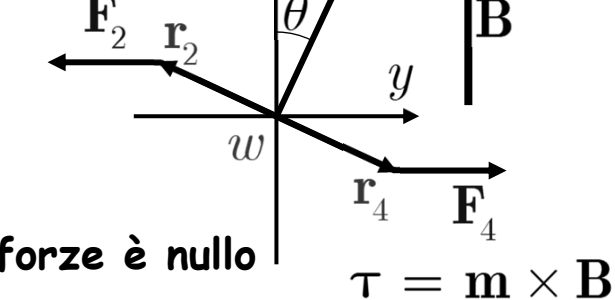
• Otteniamo pertanto

$$\sin \alpha = \sin \theta$$
 $\mathbf{\tau} = |\mathbf{m}| B \sin \theta \hat{\mathbf{e}}_x$

$$\tau = m \times B$$

Forza e momento della forza

- ullet Pertanto il momento delle forze è diretto lungo l'asse delle x (perpendicolare allo schermo)
 - La spira ruota in senso antiorario
 - \bullet Il momento magnetico si allinea con il campo magnetico \boldsymbol{B}



- ullet Quando B e m sono paralleli il momento delle forze è nullo
- ullet Supponiamo di avere una spira con momento magnetico m allineato con il campo magnetico B
 - Applichiamo una forza meccanica per ruotare lentamente la spira
 - Il lavoro fatto dalla forza esterna bilanciando esattamente il momento della forza magnetica è ($au_{\rm ext}=- au$)

$$dW = \mathbf{\tau}_{\text{ext}} \cdot d\mathbf{\theta} = -\mathbf{\tau} \cdot d\mathbf{\theta} = -\tau d\theta$$

ullet Definiamo l'energia potenziale della spira nel campo magnetico dU=-dW

$$U(\theta) = \int_0^\theta dU = -\int_0^\theta dW = \int_0^\theta \tau d\alpha = mB \int_0^\theta \sin\alpha d\alpha = mB - mB\cos\theta$$

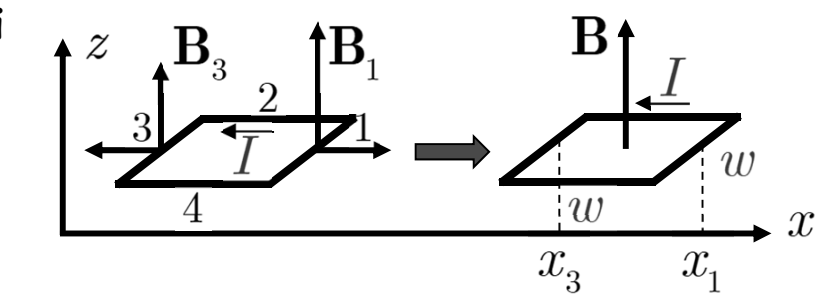
$$U \uparrow 2mB \qquad \text{L'energia potenziale è definita a meno di una costante}$$

$$U(\theta) = \int_0^\theta dU = -\int_0^\theta dW = \int_0^\theta \tau d\alpha = mB \int_0^\theta \sin\alpha d\alpha = mB - mB\cos\theta$$

$$U(\theta) = -\mathbf{m} \cdot \mathbf{B}$$

$$U(\theta) = -\mathbf{m} \cdot \mathbf{B}$$

- Supponiamo di costruire il sistema con la spira quadrata appena descritto
 - \bullet Vogliamo trasportare una spira da una regione senza campo magnetico ad una regione con un campo B in modo che il momento magnetico sia allineato con B
 - ullet Ovviamente occorre attraversare regioni in cui il campo B non è uniforme
 - ullet Supponiamo inoltre che la spira sia vincolata a muoversi solo nella direzione x
 - Per effetto del campo magnetico vengono esercitate forze sui lati della spira



- ullet Ignoriamo le forze sui lati 2 e 4 dirette lungo l'asse y
- Le forze sui lati 1 e 3 sono rispettivamente ${f F}_{\!_1}=IwB_{\!_1}\hat{f e}_{_x}$ ${f F}_{\!_2}=-IwB_{\!_2}\hat{f e}_{_x}$
- \bullet Calcoliamo il lavoro fatto dalle forze esterne $F_{\rm e1}$ e $F_{\rm e3}$ che bilanciano esattamente le forze magnetiche

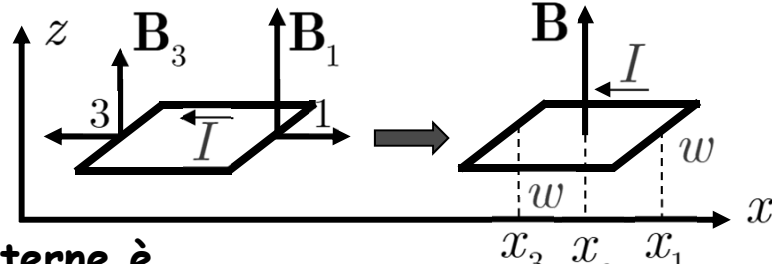
$$\mathbf{F}_{e1} = -\mathbf{F}_{1} = -IwB_{1}\hat{\mathbf{e}}_{x}$$
 $\mathbf{F}_{e3} = -\mathbf{F}_{3} = IwB_{3}\hat{\mathbf{e}}_{x}$

• Il lavoro fatto per spostare i lati della spira dalla regione con campo nullo (x_i) a x_1 e x_3 è rispettivamente

$$\begin{aligned} W_1 &= \int_{x_i}^{x_1} \mathbf{F}_{e1} \cdot d\mathbf{r} &= -Iw \int_{x_i}^{x_1} B_z(x) dx \\ W_3 &= \int_{x_i}^{x_3} \mathbf{F}_{e3} \cdot d\mathbf{r} &= +Iw \int_{x_i}^{x_3} B_z(x) dx \end{aligned}$$

$$W_{1} = -Iw \int_{x_{i}}^{x_{1}} B_{z}(x) dx$$

$$W_{2} = +Iw \int_{x_{i}}^{x_{3}} B_{z}(x) dx$$



• Pertanto il lavoro fatto dalle forze esterne è

$$W = W_1 + W_2 = -Iw \int_{x_i}^{x_1} B_z(x) dx + Iw \int_{x_i}^{x_3} B_z(x) dx = Iw \int_{x_1}^{x_3} B_z(x) dx$$

- Supponiamo adesso che le dimensioni della spira siano piccole
 - ullet Supponiamo cioè che il campo ${
 m B}$ vari poco spostandosi di w

$$W \approx IwB_z\left(x_c\right) \int_{x_1}^{x_3} dx = IwB_{zxc}\left(x_1 - x_3\right) = -Iw^2B_{zxc} - \left|\mathbf{m}\right|B_{zxc}$$

- Naturalmente il lavoro meccanico fatto è uguale all'energia potenziale del sistema
 - Il valore trovato coincide con il risultato del calcolo precedente
- Possiamo anche calcolare la forza che agisce sulla spira ad ogni istante

$$\begin{split} \mathbf{F}_1 &= IwB_1\hat{\mathbf{e}}_x & \quad \mathbf{F}_3 &= -IwB_3\hat{\mathbf{e}}_x & \quad \mathbf{F} &= \mathbf{F}_1 + \mathbf{F}_3 \\ \mathbf{F} &= Iw\big[B_z\big(x_1\big) - B_z\big(x_3\big)\big]\hat{\mathbf{e}}_x \end{split}$$

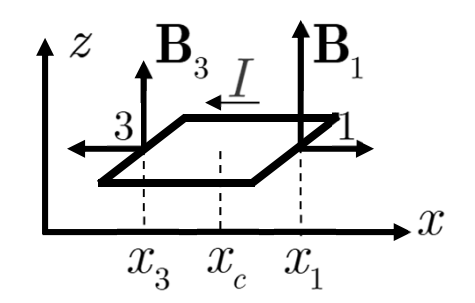
$$\mathbf{F} = Iw \left[B_z \left(x_1 \right) - B_z \left(x_3 \right) \right] \hat{\mathbf{e}}_x$$

ullet Calcoliamo una forma approssimata per $B(x_{\!\scriptscriptstyle k}\!)$ rispetto a $x_{\!\scriptscriptstyle c}$

$$B_{z}(x_{1}) \approx B_{z}(x_{c}) + \frac{\partial B_{z}}{\partial x} \Big|_{x_{c}} \frac{w}{2} \quad B_{z}(x_{3}) \approx B_{z}(x_{c}) - \frac{\partial B_{z}}{\partial x} \Big|_{x_{c}} \frac{w}{2}$$

$$\mathbf{F} = Iw \Big[B_{z}(x_{c}) + \frac{\partial B_{z}}{\partial x} \frac{w}{2} - \Big[B_{z}(x_{c}) - \frac{\partial B_{z}}{\partial x} \frac{w}{2} \Big] \Big] \hat{\mathbf{e}}_{x}$$

$$\mathbf{F} = Iw^{2} \frac{\partial B_{z}}{\partial x} \hat{\mathbf{e}}_{x} = |\mathbf{m}| \frac{\partial B_{z}}{\partial x} \hat{\mathbf{e}}_{x} = -\mathbf{F}_{e}$$



ullet Calcoliamo nuovamente il lavoro fatto dalla forza esterna ${f F}_{
m e}$ per passare dalla regione iniziale dove $B_z=0$ alla posizione finale con campo B_z

$$W = \int_{x_i}^{x_f} \mathbf{F}_e \cdot d\mathbf{l} = -\int_{x_i}^{x_f} \left| \mathbf{m} \right| \frac{\partial B_z}{\partial x} dx = -\int_{x_i}^{x_f} \left| \mathbf{m} \right| dB_z = -\left| \mathbf{m} \right| (B_{zf} - B_{zi})$$

$$W = -\left| \mathbf{m} \right| B_z = U$$

• Ancora una volta abbiamo ritrovato il risultato della diapositiva 112

• L'espressione per l'energia potenziale che abbiamo trovato

$$U(\theta) = -\mathbf{m} \cdot \mathbf{B}$$

- È il lavoro fatto per costruire un sistema con un dipolo magnetico allineato al campo magnetico
 - Ci sono molte sottigliezze in questa energia
 - Per trattarle adeguatamente occorre prima comprendere il fenomeno dell'induzione elettromagnetica
- \bullet Dimostriamo $\,$ adesso che nel caso generale di campo B e momento magnetico in direzioni arbitrarie la formula per la forza è

$$\mathbf{F} = \mathbf{\nabla} (\mathbf{m} \cdot \mathbf{B})$$

- È interessante confrontare con la formula che avevamo trovato per la forza su un dipolo elettrico
 - Nella diapositiva 276 del primo semestre avevamo trovato

$$\mathbf{F} = (\mathbf{p} \cdot \mathbf{\nabla}) \mathbf{E}$$

- Le due formule sono simili ma la differenza è sostanziale
- Sottolineeremo con degli esempi la differenza
- Vedremo che le due formule sono equivalenti solo in particolari situazioni

- Calcoliamo la forza esercitata su un circuito percorso da corrente in un campo di induzione magnetica ${f B}$ non uniforme
 - ullet Consideriamo una spira quadrata sul piano z-y. di lato Δ e percorsa da una corrente I
 - ullet Il suo momento magnetico è lungo l'asse x

$$\mathbf{m} = m_0 \hat{\mathbf{e}}_x \qquad m_0 = I\Delta^2$$

- ullet Il campo di induzione magnetica al centro è $B{=}B(r)$
- Calcoliamo la forza sulla spira

$$\mathbf{F} = \oint_C d\mathbf{F} = I \oint_C d\mathbf{l} \times \mathbf{B}$$

$$\mathbf{F} = I \int_{\Gamma_1} d\mathbf{l} \times \mathbf{B} + I \int_{\Gamma_2} d\mathbf{l} \times \mathbf{B} + I \int_{\Gamma_3} d\mathbf{l} \times \mathbf{B} + I \int_{\Gamma_4} d\mathbf{l} \times \mathbf{B}$$

$$\mathbf{r}_1 = (x, y, z - \Delta / 2)$$

$$\mathbf{r}_2 = (x, y + \Delta / 2, z)$$

$$\mathbf{r}_3 = (x, y, z + \Delta / 2)$$

Gli integrandi dei 4 integrali sono

$$\begin{aligned} \mathbf{r} &= & (x, y, z) \\ \mathbf{r}_1 &= & (x, y, z - \Delta / 2) \\ \mathbf{r}_2 &= & (x, y + \Delta / 2, z) \\ \mathbf{r}_3 &= & (x, y, z + \Delta / 2) \\ \mathbf{r}_4 &= & (x, y - \Delta / 2, z) \end{aligned}$$

$$\begin{split} d\mathbf{F} &= I \left\{ \left. \hat{\mathbf{e}}_y dy \times \mathbf{B}_1 + \hat{\mathbf{e}}_z dz \times \mathbf{B}_2 - \hat{\mathbf{e}}_y dy \times \mathbf{B}_3 - \hat{\mathbf{e}}_z dz \times \mathbf{B}_4 \right. \right\} \\ d\mathbf{F} &= I \left\{ -\hat{\mathbf{e}}_y dy \times \left[\mathbf{B}_3 - \mathbf{B}_1 \right] + \hat{\mathbf{e}}_z dz \times \left(\mathbf{B}_2 - \mathbf{B}_4 \right) \right\} \end{split}$$

$$d\mathbf{F} = I\left\{-\hat{\mathbf{e}}_{y}dy \times \left[\mathbf{B}_{3} - \mathbf{B}_{1}\right] + \hat{\mathbf{e}}_{z}dz \times \left(\mathbf{B}_{2} - \mathbf{B}_{4}\right)\right\}$$

• Sviluppiamo i campi al primo ordine

$$\mathbf{B}_{\!\scriptscriptstyle 1} = \mathbf{B}\!\left(\mathbf{r}_{\!\scriptscriptstyle 1}
ight) pprox \mathbf{B}\!\left(\mathbf{r}
ight) + rac{\partial \mathbf{B}}{\partial z} \! \Bigg|_{\!\!\!\mathbf{r}} \! \left(-rac{\Delta}{2}
ight)$$

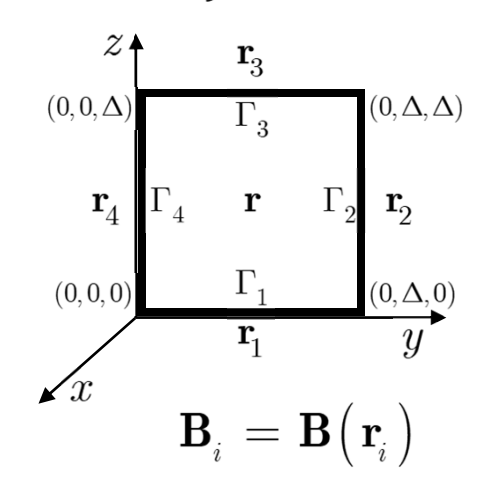
$$\mathbf{B}_{2} = \mathbf{B}ig(\mathbf{r}_{\!_{2}}ig) pprox \mathbf{B}ig(\mathbf{r}ig) + rac{\partial \mathbf{B}}{\partial y}igg|_{\mathbf{r}} rac{\Delta}{2}$$

$$\mathbf{B}_{\!\scriptscriptstyle 3} = \mathbf{B}ig(\mathbf{r}_{\!\scriptscriptstyle 3}ig) pprox \mathbf{B}ig(\mathbf{r}ig) + rac{\partial \mathbf{B}}{\partial z}igg[rac{\Delta}{2}ig]$$

$$\mathbf{B}_{\!\scriptscriptstyle 4} = \mathbf{B}ig(\mathbf{r}_{\!\scriptscriptstyle 4}ig) pprox \mathbf{B}ig(\mathbf{r}ig) + rac{\partial \mathbf{B}}{\partial y}igg|_{\mathbf{r}}igg(-rac{\Delta}{2}igg)$$

• Inseriamo nella formula

$$d\mathbf{F} = I \left\{ -\hat{\mathbf{e}}_y dy \times \Delta \frac{\partial \mathbf{B}}{\partial z} \bigg|_{\mathbf{r}} + \hat{\mathbf{e}}_z dz \times \Delta \frac{\partial \mathbf{B}}{\partial y} \bigg|_{\mathbf{r}} \right\}$$



$$|\mathbf{r} = (x, y, z)|$$

$$|\mathbf{r}_1 = (x, y, z - \Delta / 2)|$$

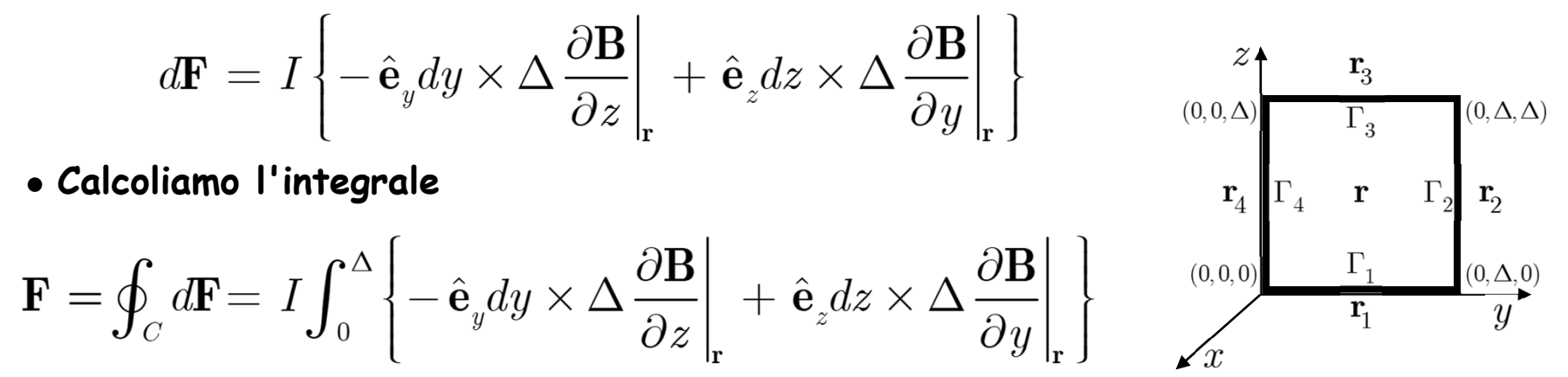
$$|\mathbf{r}_2 = (x, y + \Delta / 2, z)|$$

$$|\mathbf{r}_3 = (x, y, z + \Delta / 2)|$$

$$|\mathbf{r}_4 = (x, y - \Delta / 2, z)|$$

$$d\mathbf{F} = I \left\{ -\hat{\mathbf{e}}_y dy \times \Delta \frac{\partial \mathbf{B}}{\partial z} \bigg|_{\mathbf{r}} + \hat{\mathbf{e}}_z dz \times \Delta \frac{\partial \mathbf{B}}{\partial y} \bigg|_{\mathbf{r}} \right\}$$

$$\mathbf{F} = \oint_{C} d\mathbf{F} = \left. I \int_{0}^{\Delta} \left\{ -\hat{\mathbf{e}}_{y} dy \times \Delta \frac{\partial \mathbf{B}}{\partial z} \right|_{\mathbf{r}} + \hat{\mathbf{e}}_{z} dz \times \Delta \frac{\partial \mathbf{B}}{\partial y} \right|_{\mathbf{r}} \right\}$$



• Consideriamo le derivate costanti lungo l'integrale (Δ è piccolo)

$$\int_0^\Delta rac{\partial \mathbf{B}}{\partial z} \Bigg|_{\mathbf{r}} dy \simeq rac{\partial \mathbf{B}}{\partial z} \Bigg|_{\mathbf{r}} \Delta \qquad \qquad \int_0^\Delta rac{\partial \mathbf{B}}{\partial y} \Bigg|_{\mathbf{r}} dz \simeq rac{\partial \mathbf{B}}{\partial y} \Bigg|_{\mathbf{r}} \Delta$$

$$\left|\int_{0}^{\Delta}rac{\partial\mathbf{B}}{\partial y}
ight|_{\mathbf{r}}dz\simeqrac{\partial\mathbf{B}}{\partial y}
ight|_{\mathbf{r}}\Delta$$

- ullet Da ora in poi le derivate sono calcolate nel punto ${f r}$
 - Otteniamo

$$\mathbf{F} = I\Delta^{2} \left\{ -\hat{\mathbf{e}}_{y} \times \frac{\partial \mathbf{B}}{\partial z} + \hat{\mathbf{e}}_{z} \times \frac{\partial \mathbf{B}}{\partial y} \right\} = m_{0} \left\{ -\hat{\mathbf{e}}_{y} \times \frac{\partial \mathbf{B}}{\partial z} + \hat{\mathbf{e}}_{z} \times \frac{\partial \mathbf{B}}{\partial y} \right\}$$

$$\mathbf{F} = m_{_{0}} \left\{ -\hat{\mathbf{e}}_{_{y}} imes rac{\partial \mathbf{B}}{\partial z} + \hat{\mathbf{e}}_{_{z}} imes rac{\partial \mathbf{B}}{\partial y}
ight\}$$

• Calcoliamo i prodotti vettoriali

$$\hat{\mathbf{e}}_{y} \times \frac{\partial \mathbf{B}}{\partial z} = \begin{vmatrix} \hat{\mathbf{e}}_{x} & \hat{\mathbf{e}}_{y} & \hat{\mathbf{e}}_{z} \\ 0 & 1 & 0 \\ \frac{\partial B_{x}}{\partial z} & \frac{\partial B_{y}}{\partial z} & \frac{\partial B_{z}}{\partial z} \end{vmatrix} = \begin{bmatrix} \hat{\mathbf{e}}_{x} \frac{\partial B_{z}}{\partial z} - \hat{\mathbf{e}}_{z} \frac{\partial B_{x}}{\partial z} \end{bmatrix} \quad \begin{vmatrix} \hat{\mathbf{e}}_{z} \times \frac{\partial \mathbf{B}}{\partial y} = \begin{vmatrix} \hat{\mathbf{e}}_{x} & \hat{\mathbf{e}}_{y} & \hat{\mathbf{e}}_{z} \\ 0 & 0 & 1 \\ \frac{\partial B_{x}}{\partial y} & \frac{\partial B_{y}}{\partial y} & \frac{\partial B_{z}}{\partial y} \end{vmatrix} = \begin{bmatrix} \hat{\mathbf{e}}_{y} \frac{\partial B_{x}}{\partial y} - \hat{\mathbf{e}}_{x} \frac{\partial B_{y}}{\partial y} \end{bmatrix}$$

• Otteniamo infine

$$\mathbf{F} = m_0 \left\{ -\hat{\mathbf{e}}_x \frac{\partial B_z}{\partial z} + \hat{\mathbf{e}}_z \frac{\partial B_x}{\partial z} + \hat{\mathbf{e}}_y \frac{\partial B_x}{\partial y} - \hat{\mathbf{e}}_x \frac{\partial B_y}{\partial y} \right\} = m_0 \left\{ \hat{\mathbf{e}}_x \left[-\frac{\partial B_y}{\partial y} - \frac{\partial B_z}{\partial z} \right] + \hat{\mathbf{e}}_y \frac{\partial B_x}{\partial y} + \hat{\mathbf{e}}_z \frac{\partial B_x}{\partial z} \right\}$$

Ricordiamo che

$$\nabla \cdot \mathbf{B} = 0 \quad \Longrightarrow \quad \frac{\partial B_x}{\partial x} + \frac{\partial B_y}{\partial y} + \frac{\partial B_z}{\partial z} = 0 \quad \Longrightarrow \quad -\frac{\partial B_y}{\partial y} - \frac{\partial B_z}{\partial z} = \frac{\partial B_x}{\partial x}$$

$$\mathbf{F} = m_0 \left\{ \hat{\mathbf{e}}_x \frac{\partial B_x}{\partial x} + \hat{\mathbf{e}}_y \frac{\partial B_x}{\partial y} + \hat{\mathbf{e}}_z \frac{\partial B_x}{\partial z} \right\}$$

$$\mathbf{F} = m_0 \left\{ \hat{\mathbf{e}}_x \frac{\partial B_x}{\partial x} + \hat{\mathbf{e}}_y \frac{\partial B_x}{\partial y} + \hat{\mathbf{e}}_z \frac{\partial B_x}{\partial z} \right\}$$

- Ricordiamo che questa formula è stata ricavata per
 - ullet Un dipolo magnetico orientato lungo l'asse x
 - Un campo magnetico non uniforme e in direzione arbitraria
- Osserviamo che
 - ullet Dentro la parentesi graffa abbiamo l'operatore abla applicato a B_x

$$\nabla B_x = \left\{ \hat{\mathbf{e}}_x \frac{\partial}{\partial x} + \hat{\mathbf{e}}_y \frac{\partial}{\partial y} + \hat{\mathbf{e}}_z \frac{\partial}{\partial z} \right\} B_x$$

- ullet Il dipolo orientato lungo x ha "selezionato" la componente B_x
 - \bullet Se avessimo scelto un dipolo lungo y o lungo z la componente del campo ${\bf B}$ interessata sarebbe stata B_y o B_z rispettivamente
 - ullet L'argomento dell'operatore abla deve pertanto essere $\mathbf{m}{\cdot}\mathbf{B}$
- Possiamo pertanto scrivere la formula nella sua forma finale

$$\mathbf{F} = \mathbf{
abla}ig(\mathbf{m}\cdot\mathbf{B}ig)$$